



# MRI – a diagnosztikai képalkotás alapjai



Szigeti Krisztián

1947 NMR anyagvizsgálat (1952):

- Felix Block
- Edward M. Purcell

1977 Klinikai MRI (2003):

- Paul Lauetbur
- Peter Mansfield
- Raymond Damadian

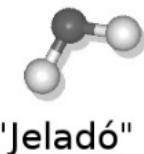




YouTube

## HOGYAN IS MŰKÖDIK AZ MRI?

Rádiófrekvenciás jel



"Jeladó"



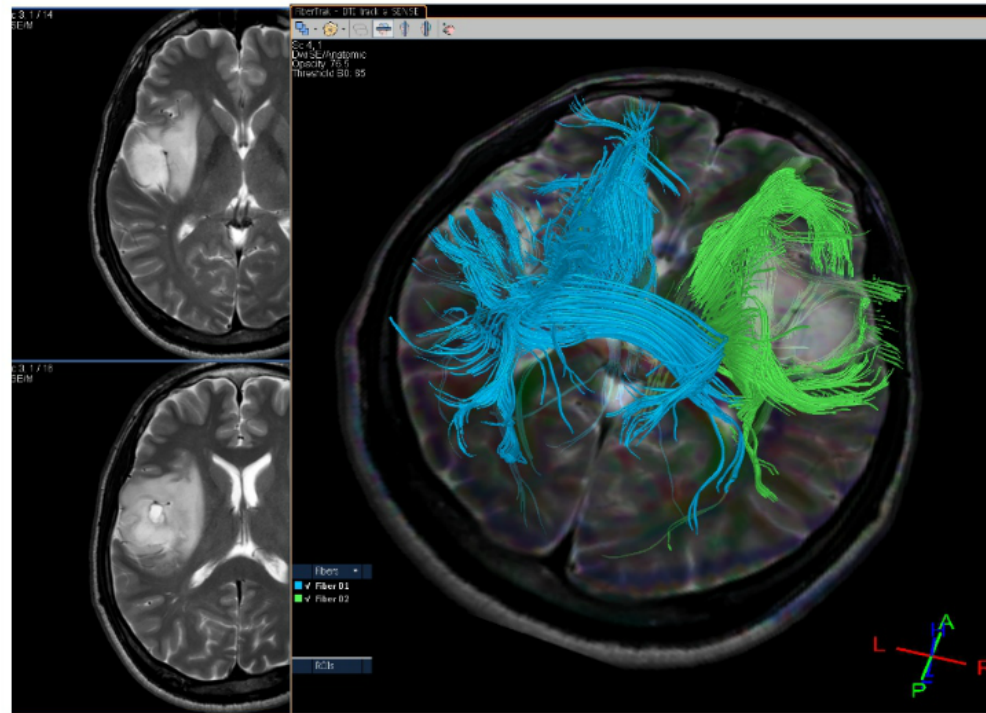
Mágnes



Jelvező

- Helyezzük a pácienszt erős mágneses térbe
- Gerjesszük a pácienszt egy megfelelő radiofrekvenciás jellet
- Figyeljük meg a páciensből kijövő radiofrekvenciás választ
- Pontról pontra (voxel) ismételjük meg az előző két lépést

# Hogy kaphatunk ilyen képeket?



## Mi a köze a kórusnak az MRI-hez?



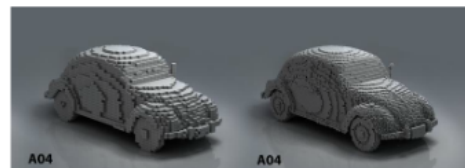
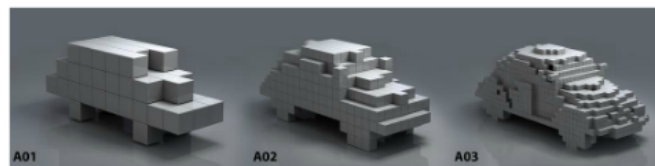
- Zenekar
- Körustagok
- Emeletek
- Hangmagasság
- Hol tart a zenében
- Mágnes (pl: 3T, He)
- Voxelök (emberben)
- Pozíciókódolás (3D)

# Mágnes és voxel

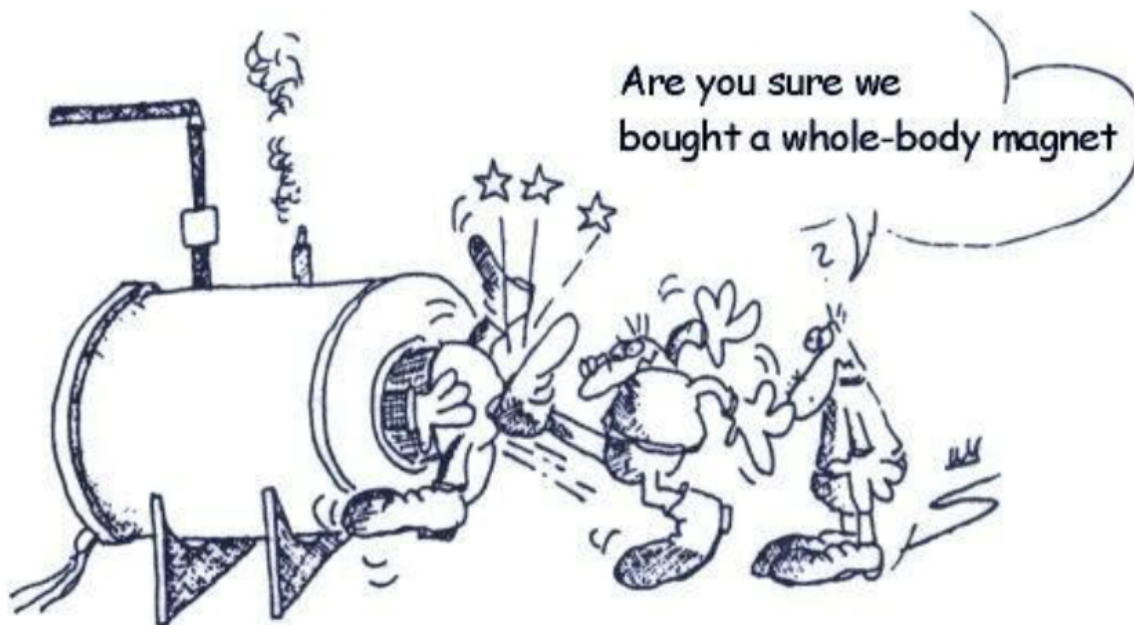
- Föld: 30uT
- MRI: 0.3-12T  
(5 nagyságrend)



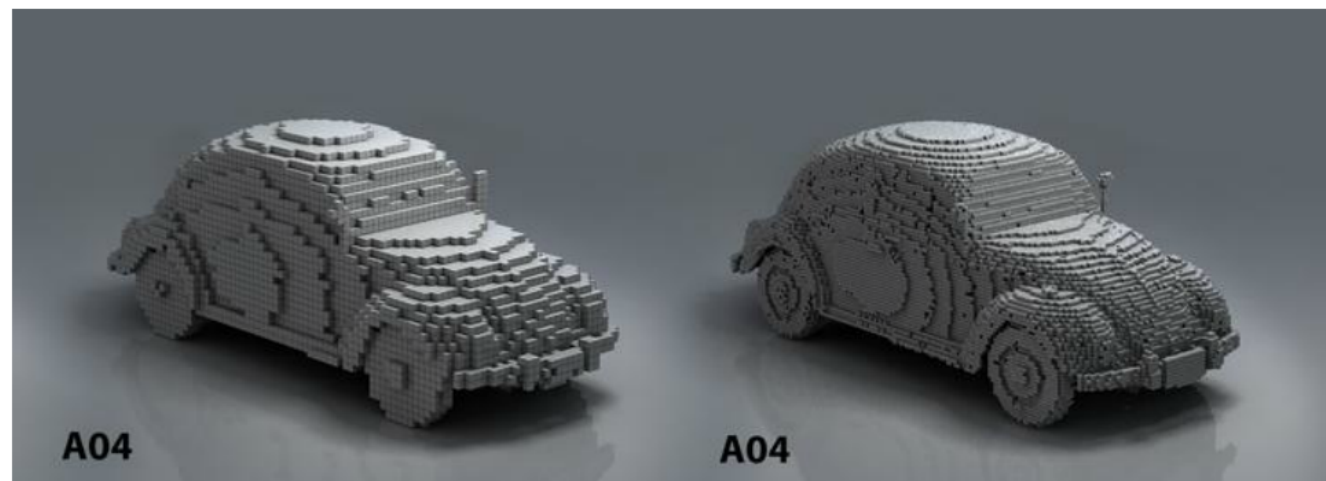
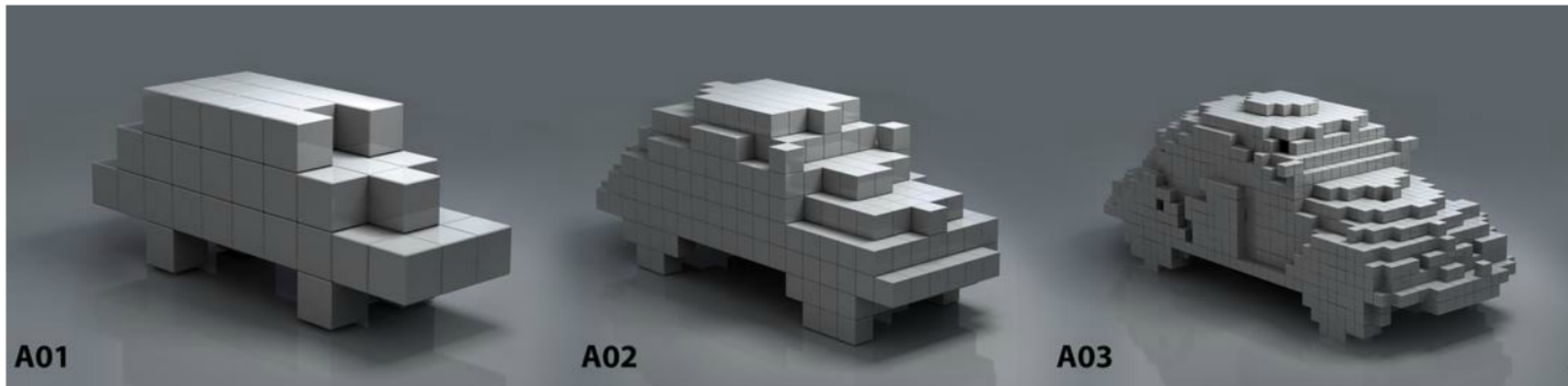
Voxel

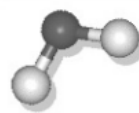


- Föld: 30uT
- MRI: 0.3-12T  
(5 nagyságrend)



# Voxel

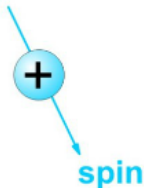




Mi a "jeladó" (voxelben)?

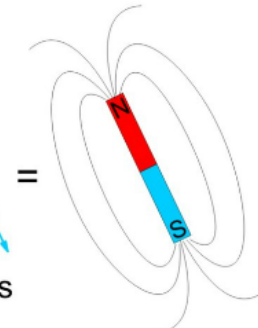
## MÁGNESES TÉR NÉLKÜL:

a proton  
"nagyon  
gyorsan  
pörög"

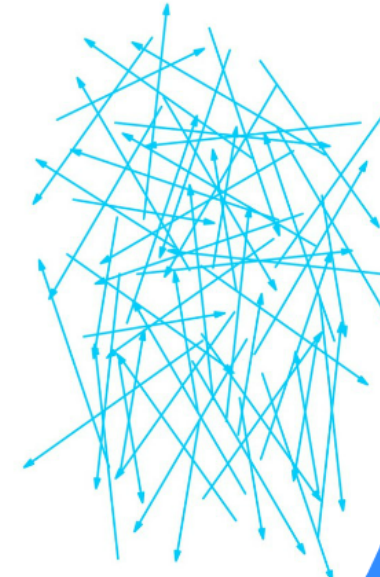


mozgó elektromos töltés  
mágneses teret kelt!

mágneses  
spin  
vektor



rendezetlen  
spinek



Voxelekben lévő spinek



Mi a "jeladó" (voxelben)?



Mit csinál az "iránytű" mágneses térben?



Mit csinál a mágneses tér?

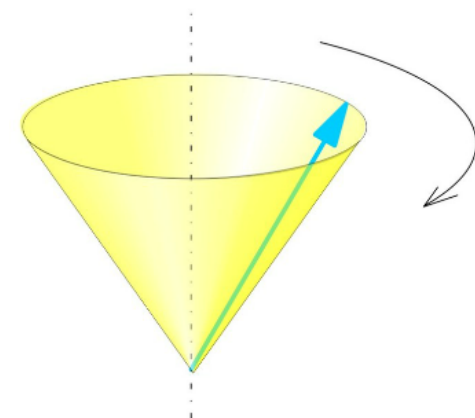
## KÜLSŐ MÁGNESES TÉRBEN:

### A PRECESSZIÓ:

A spin vektor a külső mágneses tértől függő fordulatszámmal, frekvenciával egy kúppalást mentén "lassan" kering, precesszál (pörgettyű-hasonlat).

A kúp forgástengelye azonos irányú a mágneses térrrel.

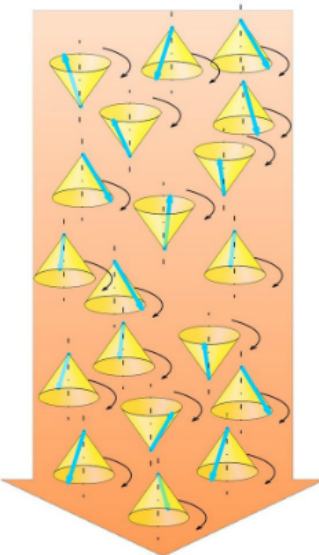
D



É

## ERŐS MÁGNESES TÉRBEN

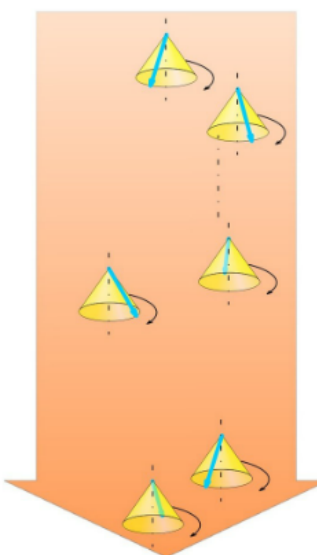
D



É

A spinek a mágneses tér irányába  
rendeződve precessálnak.  
Termikus egyensúlyban (290 K)  
a precessziók kicsit több,  
mint a fele É-felé irányul.

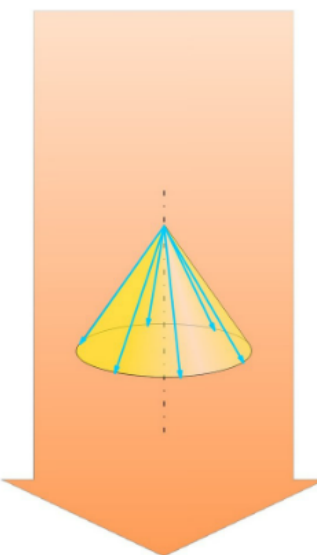
D



É

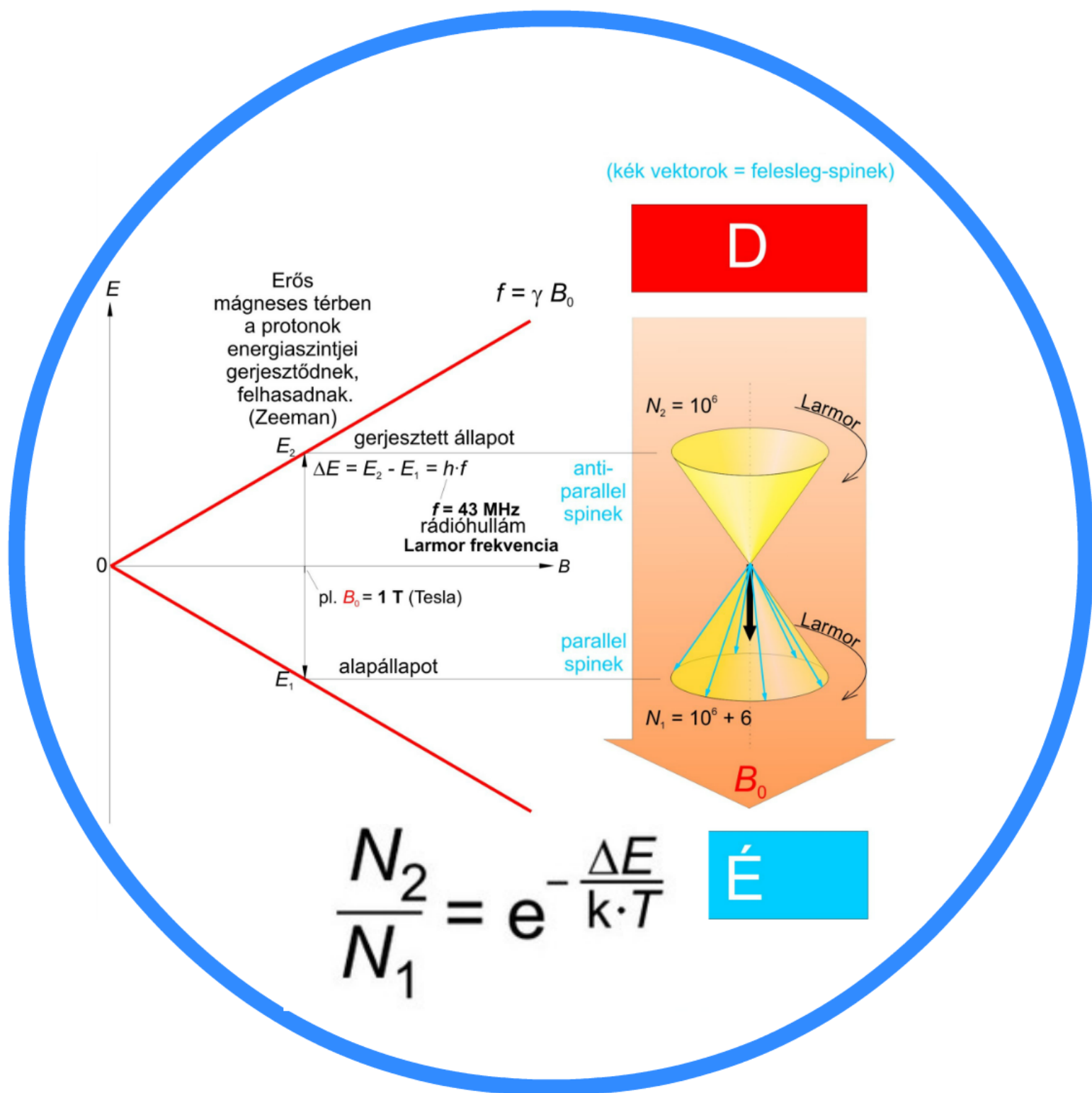
Ha csak a  
felesleg spinek  
precesszióit  
ábrázoljuk.

D



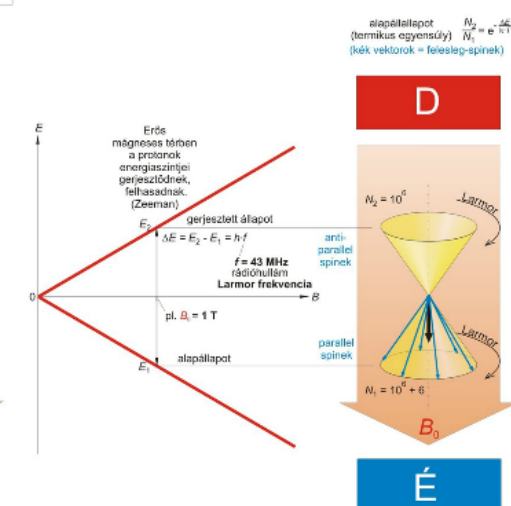
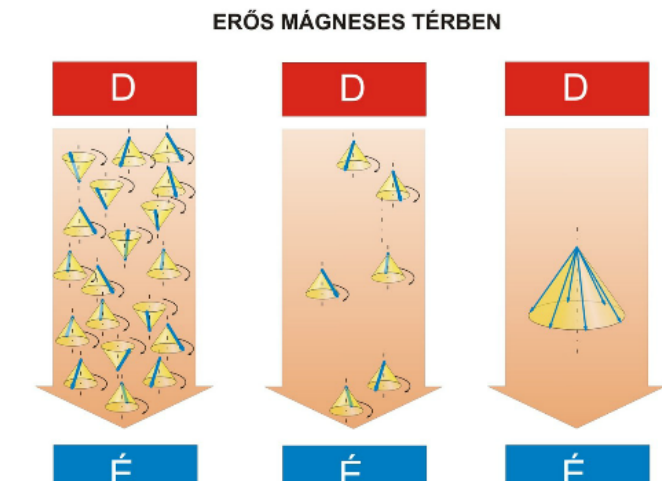
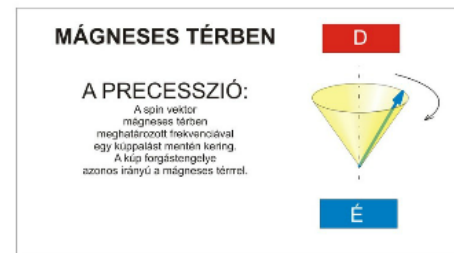
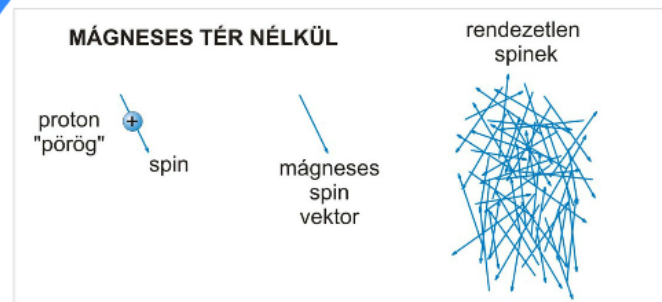
É

EGYSZERŰSÍTÉS:  
a felesleg spinek  
precessziói  
egyetlen kúppaláson  
ábrázolva





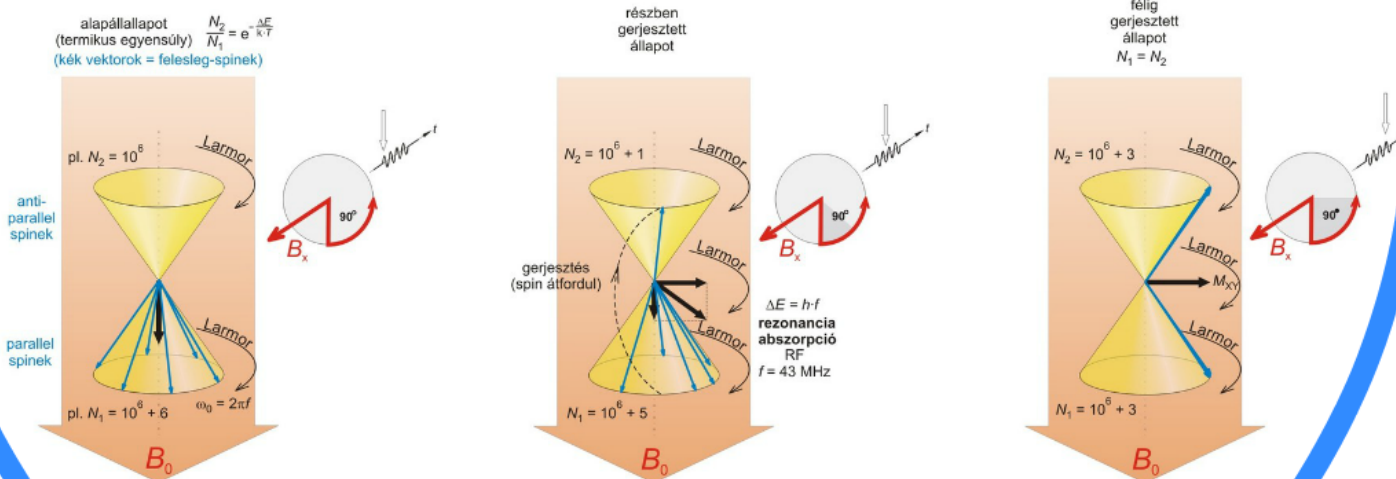
# Ez a "jeladó" ...

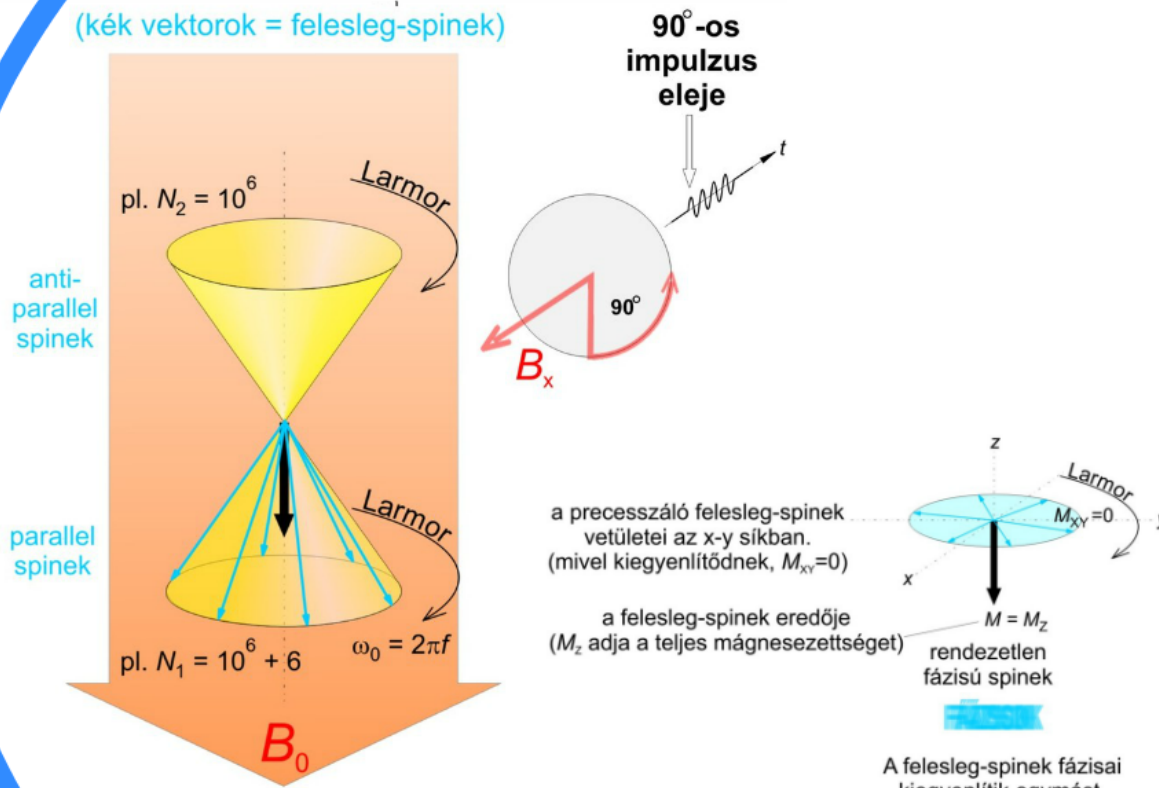


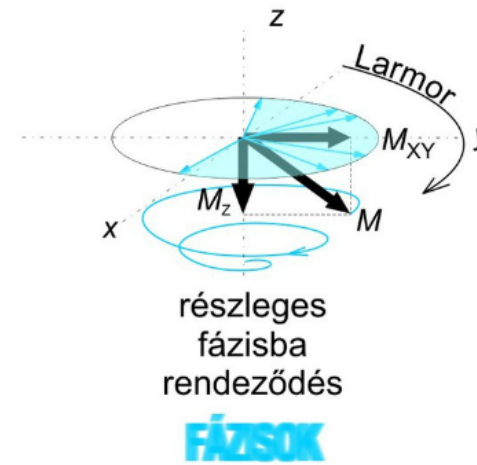
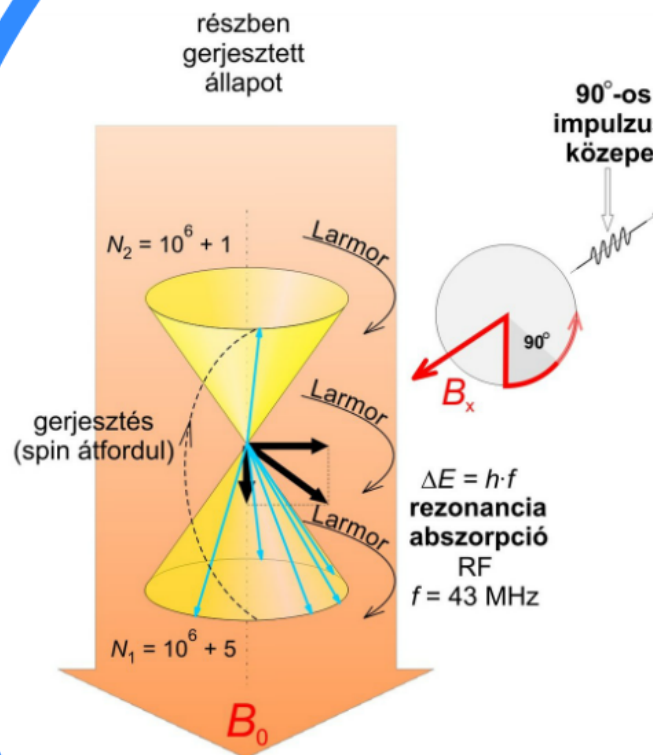
# Hogyan tudjuk "daloltatni a voxeleket"?



- Mi nyeli el a rádió jelet?
- Mi történik a voxelekben?
- Hogyan adnak jelet?

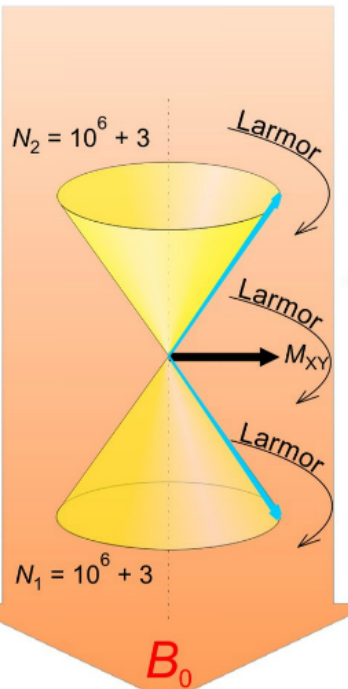




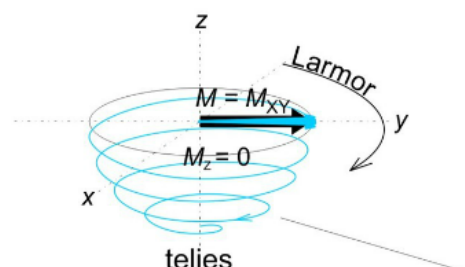
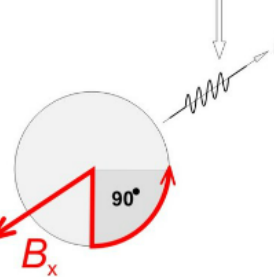


A fázisba rendeződés során az  $M_{XY}$  vektor növekedni kezd.  
Az  $M_z$  vektor a spinek átfordulása miatt csökkenni fog.  
Az  $M$  eredő vektor Larmor frekvenciával térbeli spirális pályát ír le.

félig  
gerjesztett  
állapot  
 $N_1 = N_2$



90°-os  
impulzus  
vége



teljes  
fázisba  
rendeződés  
**FÁZISOK**

a 90°-os impulzus hatására  
az  $M_z$  vektor spirális pályán  
**90°-al befordul**  
az x-y síkba ( $M_{XY}$ ).  
A Larmor frekvenciával forgó  
 $M_{XY}$  már mérhető.  
A beforgatás végére  
 $M_z$  nullára csökken.

CÉL: AZ  $M_z$  VEKTORT AZ XY SÍKBA FORDÍTJUK, HOGY MÉRHETŐVÉ VÁLJON

$M_z$  BEFORGATÁSA AZ X-Y SÍKBA:

x - irányú, meghatározott idejű (ms)

és amplitúdójú

ún. 90°-os rádiófrekvenciás impulzus

( $f = 43$  MHz, Larmor frekvencia)

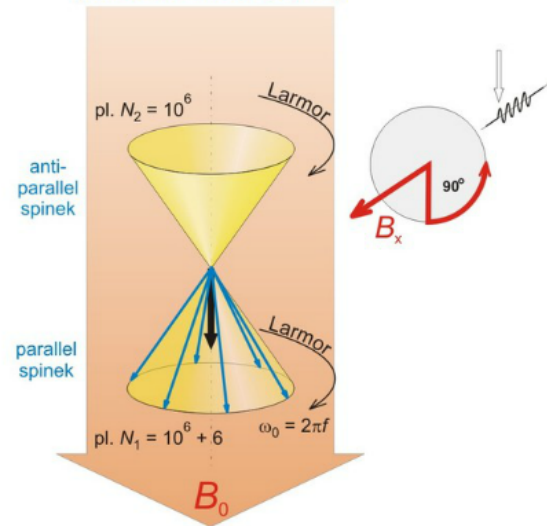
HATÁSAI: a parallel spinek gerjesztődése antiparallel spinéké

a parallel és antiparallel spinek fázisba rendeződnek

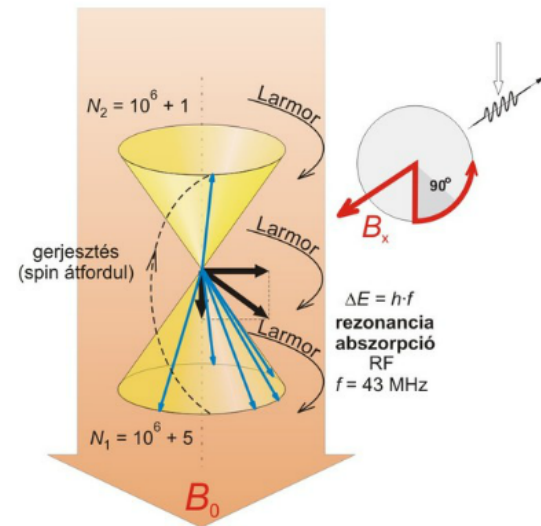
→ t

$$\text{alapállapot} \quad \frac{N_2}{N_1} = e^{-\frac{\Delta E}{k \cdot T}}$$

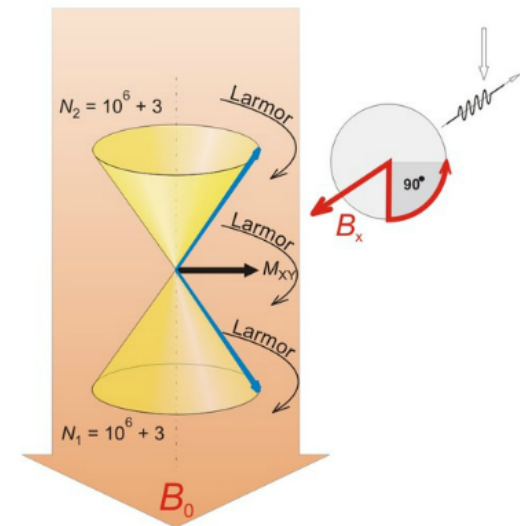
(termikus egyensúly) (kék vektorok = felesleg-spinék)



részben gerjesztett állapot



félgerjesztett állapot  
 $N_1 = N_2$

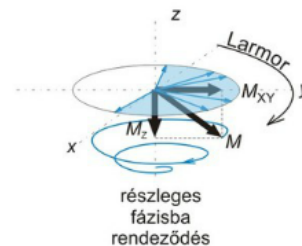


a precesszáló felesleg-spinék vetületei az x-y síkban (kiegyenlítődnak,  $M_{XY}=0$ )

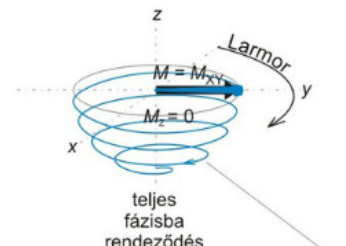
a felesleg-spinék eredője ( $M_z$  adja a teljes mágneszettséget)  
( $M_z$  rendezetlen fázisú spinék)

a felesleg-spinék fázisai kiegynílik egymáshoz, ezért nincs x-y irányú eredőjük

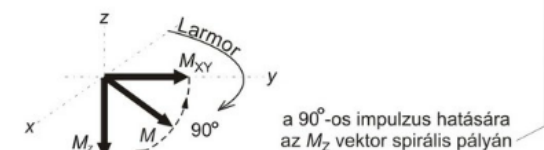
az  $M_z$  vektor önmagában forog, valamint irányához is azonos a nála kb. milliószer nagyobb  $B_0$ -ével ezért közvetlenül nem mérhető.



## FÁZOK



## FÁZOK



a 90°-os impulzus hatására

az  $M_z$  vektor spirális pályán

90°-al befordul

az x-y síkba ( $M_{XY}$ )

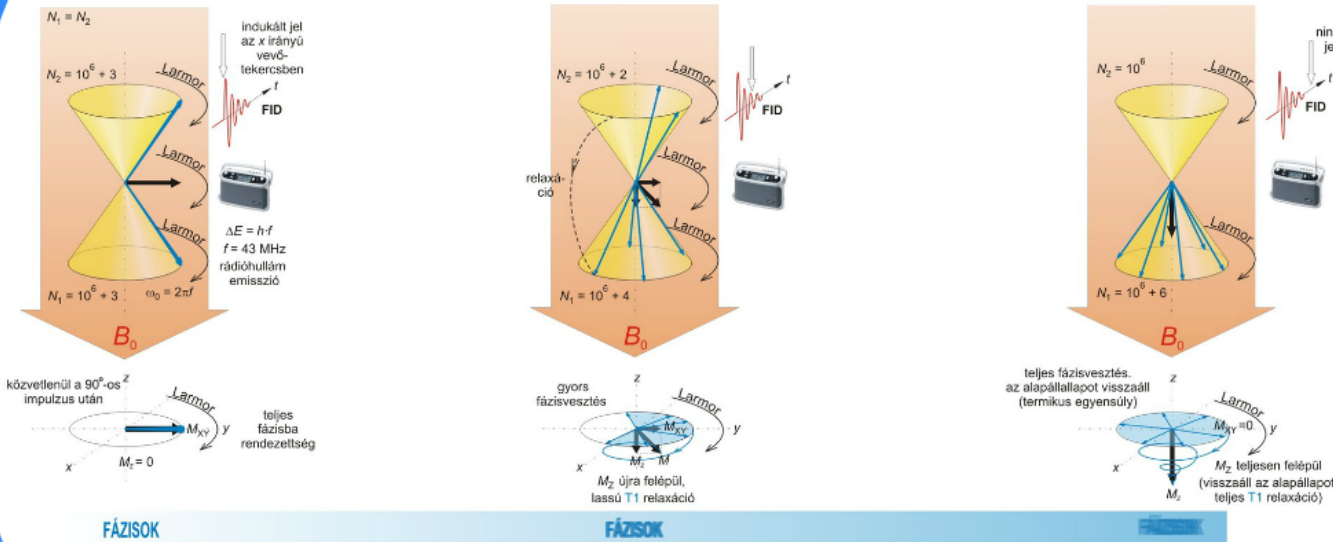
A Larmor frekvenciával forgó  $M_{XY}$  már mérhető.

A beforgatás végére  $M_z$  eltűnik.

# GERJESZTÉS 90°-OS RF-IMPULZUSSAL

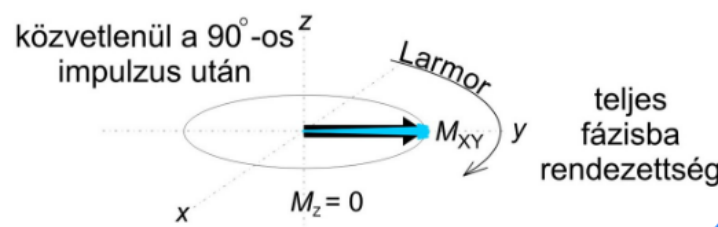
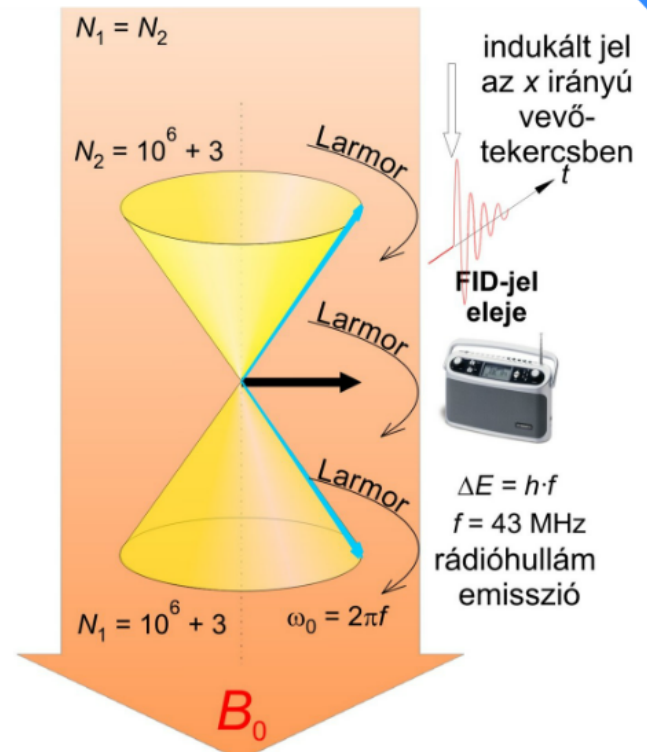


# Hogyan mérhetünk?



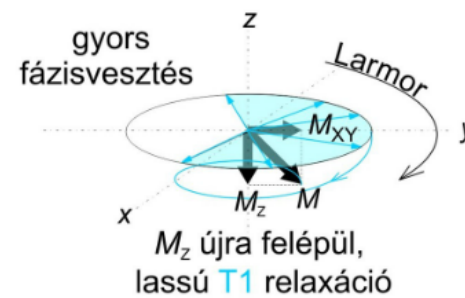
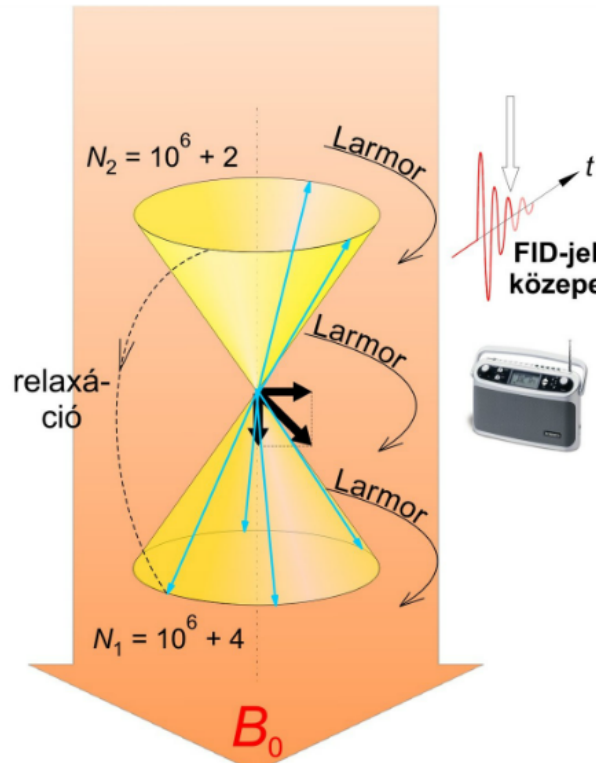
**RELAXÁCIÓ, FÁZISVESZTÉS  
ÉS JELDETEKTÁLÁS  
A 90°- OS IMPULZUS UTÁN**

(a)



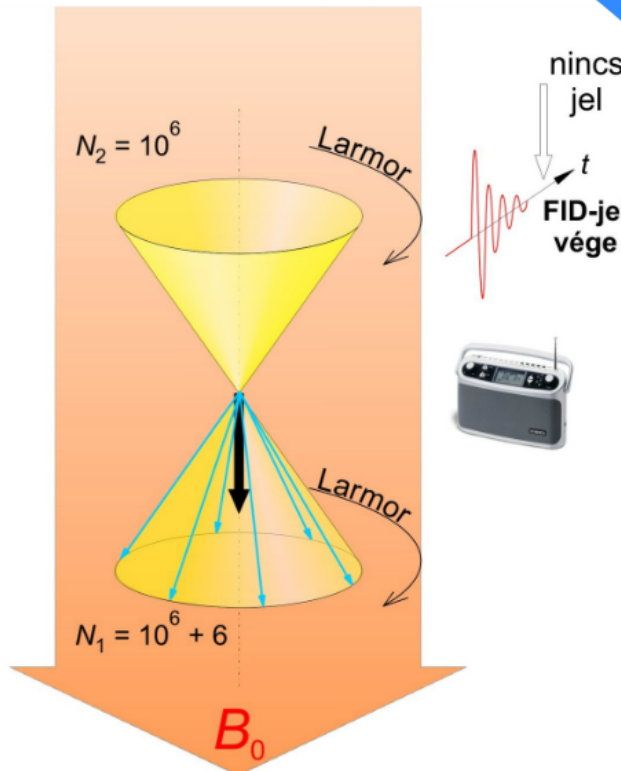
**FÁZISOK**

**RELAXÁCIÓ, FÁZISVESZTÉS  
ÉS JELDETEKTÁLÁS  
A 90°-OS IMPULZUS UTÁN  
(b)**

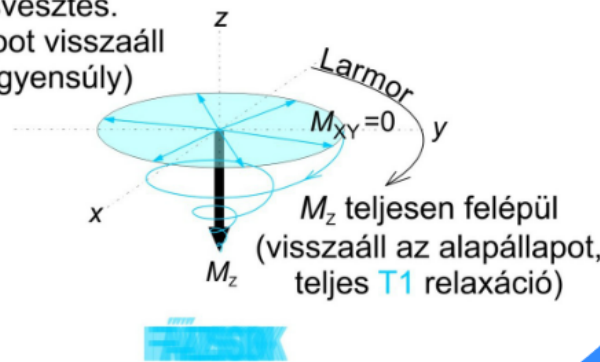


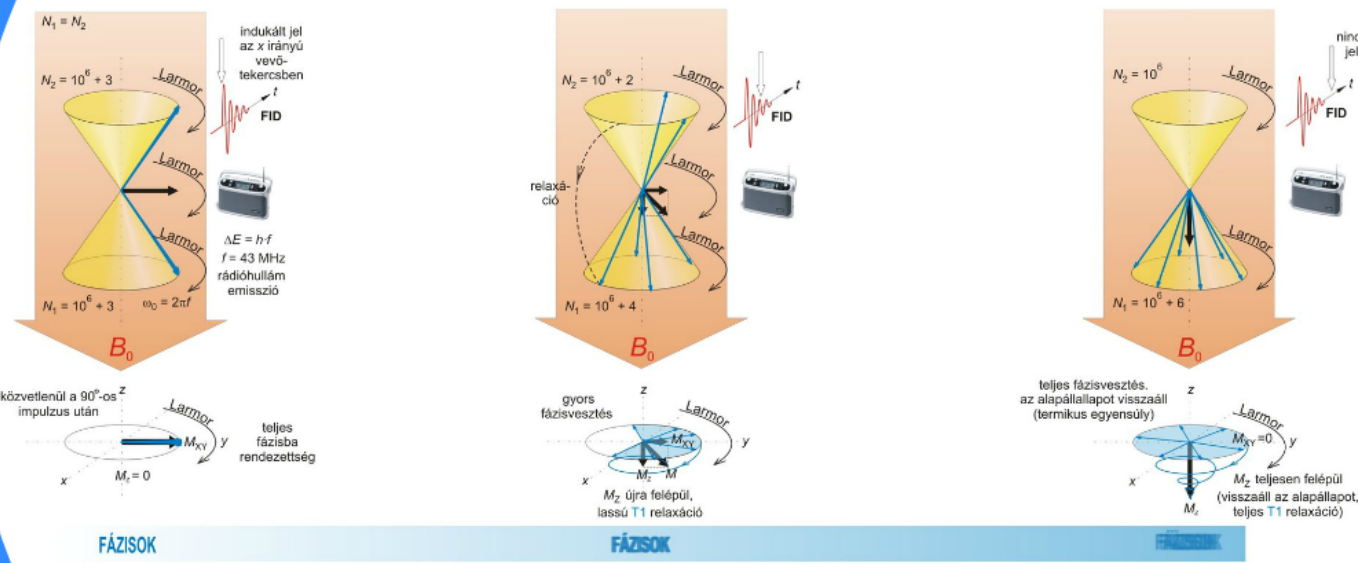
**FÁZOK**

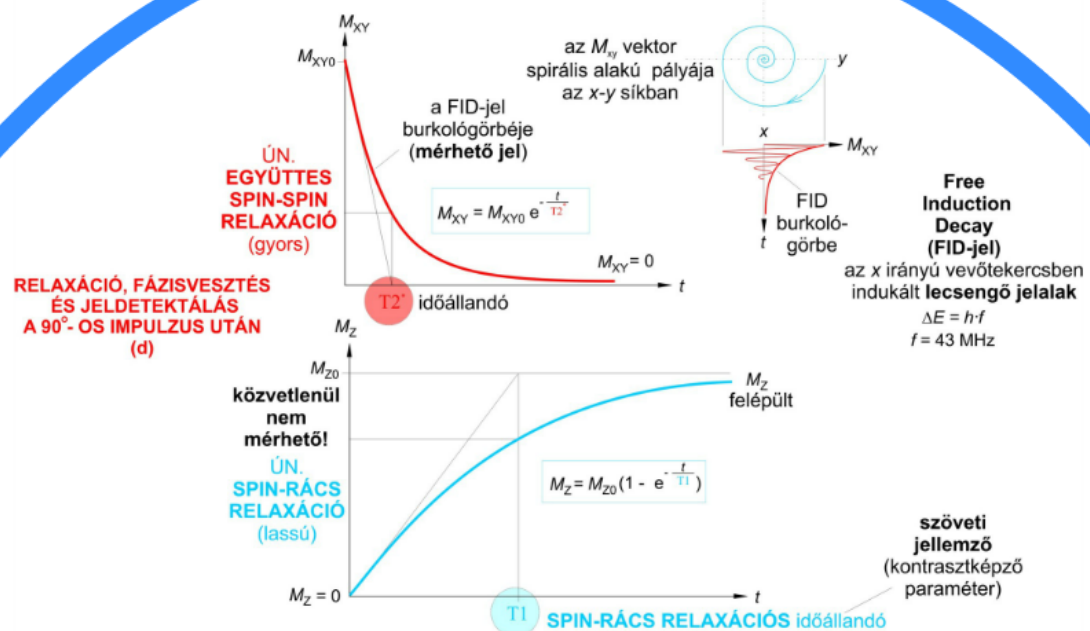
**RELAXÁCIÓ, FÁZISVESZTÉS  
ÉS JELDETEKTÁLÁS  
A  $90^\circ$ -OS IMPULZUS UTÁN**  
(c)



teljes fázisvesztés.  
az alapállapot visszaáll  
(termikus egyensúly)







A 90°-os impulzus után:

1. A spinek gyors fázisvesztése
2. Az antiparalell spinek lassú relaxációja parallel spinekké

T2\* időállandóval jellemzhető exponenciálisan lecsengő folyamat

T1 időállandóval jellemzhető exponenciálisan felépülő folyamat

A fázisvesztés okai:

a  $B_0$  mágneses tér inhomogenitása ( $T_{2\text{rev}}$ )

a tiszta szöveti mágneses inhomogenitása ( $T_2$ )

együttes spin-spin relaxáció időállandója

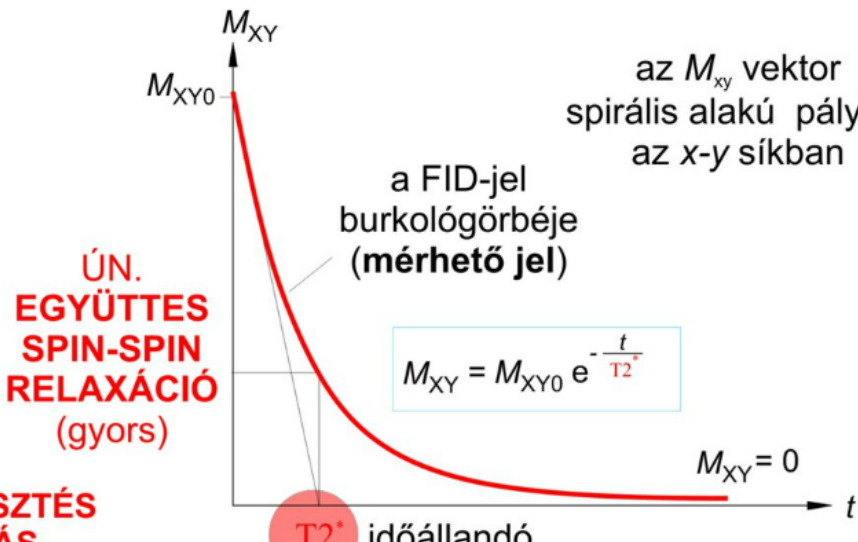
$$\frac{1}{T_2^*} = \frac{1}{T_2} + \frac{1}{T_{2\text{rev}}}$$

szöveti SPIN-SPIN RELAXÁCIÓ időállandója

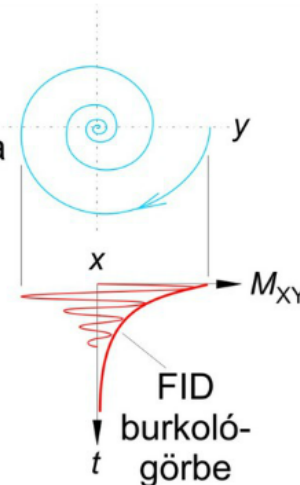
a  $B_0$  mágneses tér inhomogenitásából adódó időállandó (amely időben nem változik)

## RELAXÁCIÓ, FÁZISVESZTÉS ÉS JELDETektálás A 90°- OS IMPULZUS UTÁN

(d)

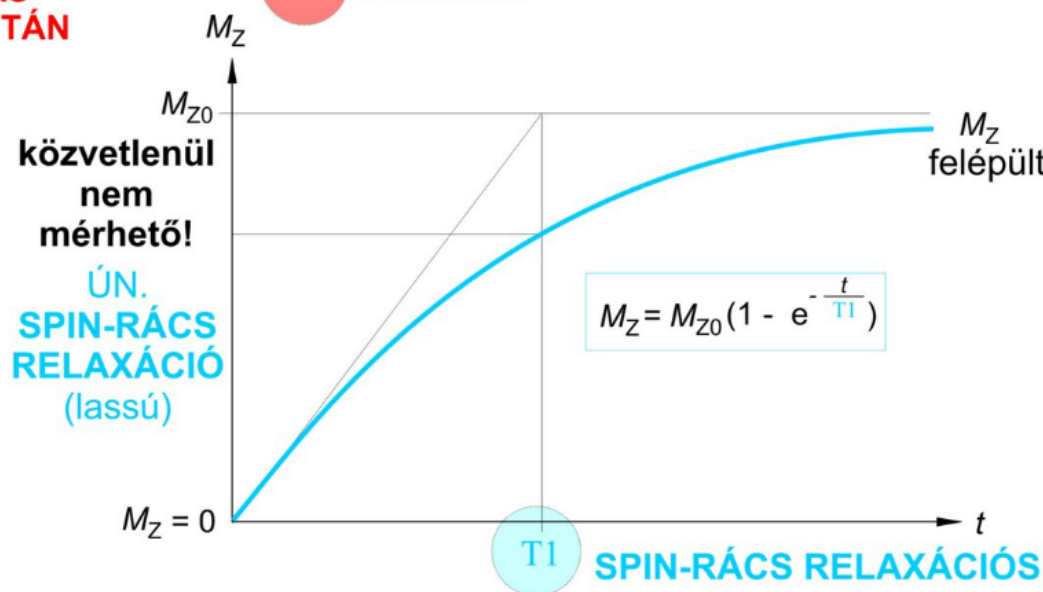


az  $M_{xy}$  vektor spirális alakú pályája az x-y síkban



**Free Induction Decay (FID-jel)**  
az x irányú vevőtekercsben indukált lecsengő jelalak

$$\Delta E = h \cdot f$$

$$f = 43 \text{ MHz}$$


szöveti jellemző (kontraszképző paraméter)



- A 90°-os impulzus után:
1. A spinek **gyors fázisvesztése** T2\* időállandóval jellemzhető exponenciálisan lecsengő folyamat
  2. Az antiparallel spinek **lassú relaxációja parallel spinekké** T1 időállandóval jellemzhető exponenciálisan felépülő folyamat

A fázisvesztés okai:

- a  $B_0$  mágneses tér inhomogenitása ( $T_{2\text{rev}}$ )
- a tisztán szöveti mágneses inhomogenitása ( $T_2$ )

$$\frac{1}{T_2^*} = \frac{1}{T_2} + \frac{1}{T_{2\text{rev}}}$$

együttet  
spin-spin  
relaxáció  
időállandója
szöveti  
SPIN-SPIN  
RELAXÁCIÓ  
időállandója
a  $B_0$  mágneses tér  
inhomogenitásából  
adódó időállandó  
(amely időben nem változik)



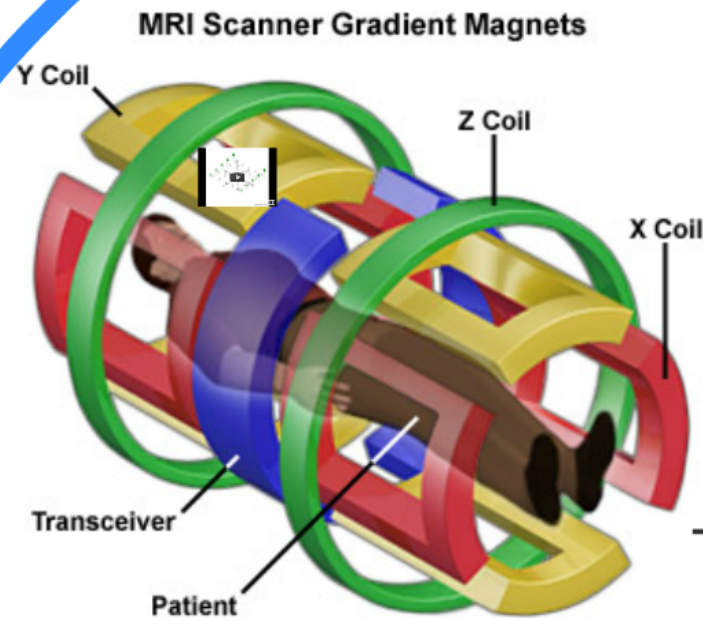
YouTube

## Mi a köze a kórusnak az MRI-hez?



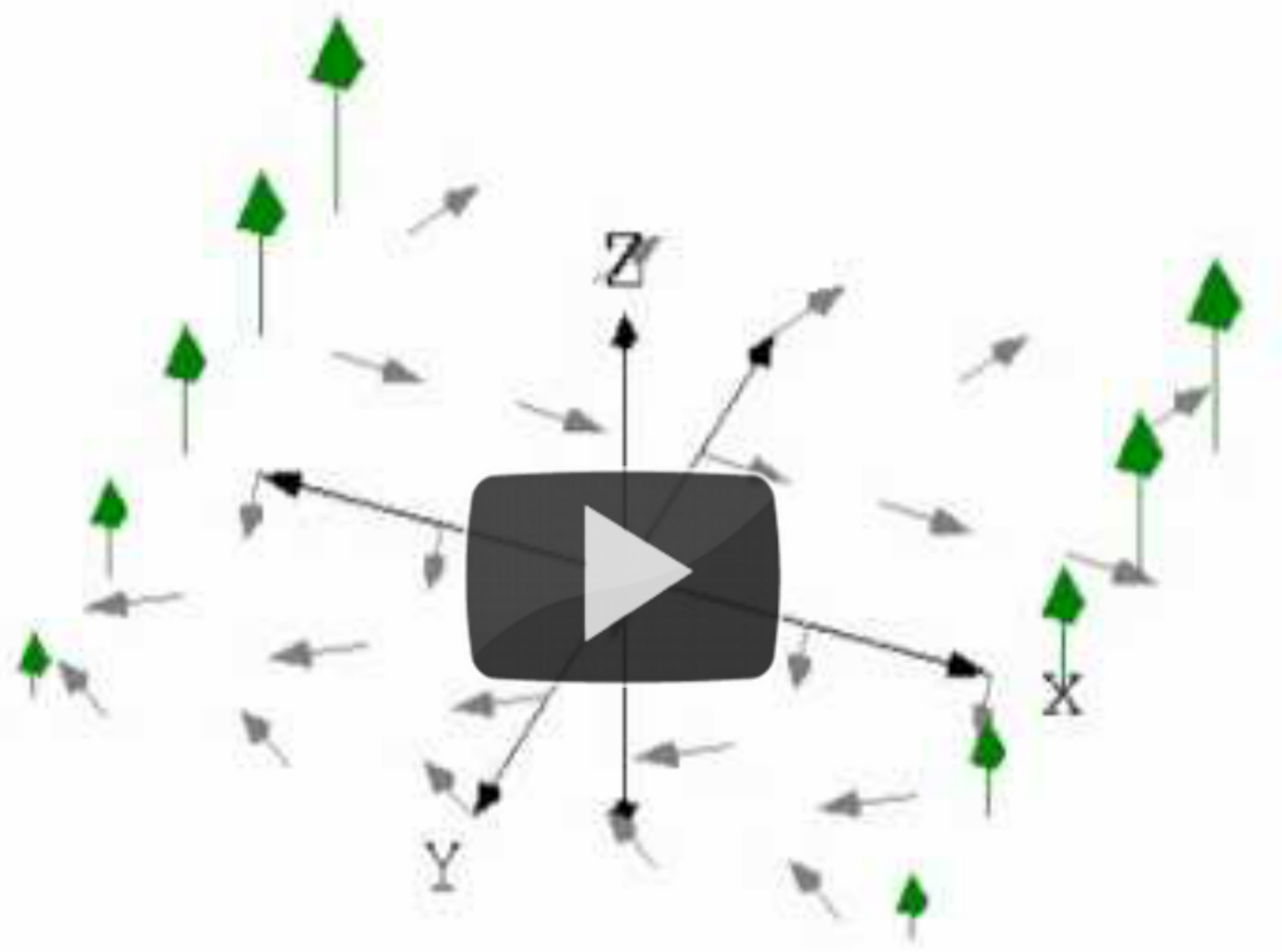
- Zenekar
- Körustagok
- Emeletek
- Hangmagasság
- Hol tart a zenében
- Mágnes (pl: 3T, He)
- Voxelök (emberben)
- Pozíciókódolás (3D)

# Voxel - pozíció kódolás



- Gradiens tekercsek  
- Larmor - B

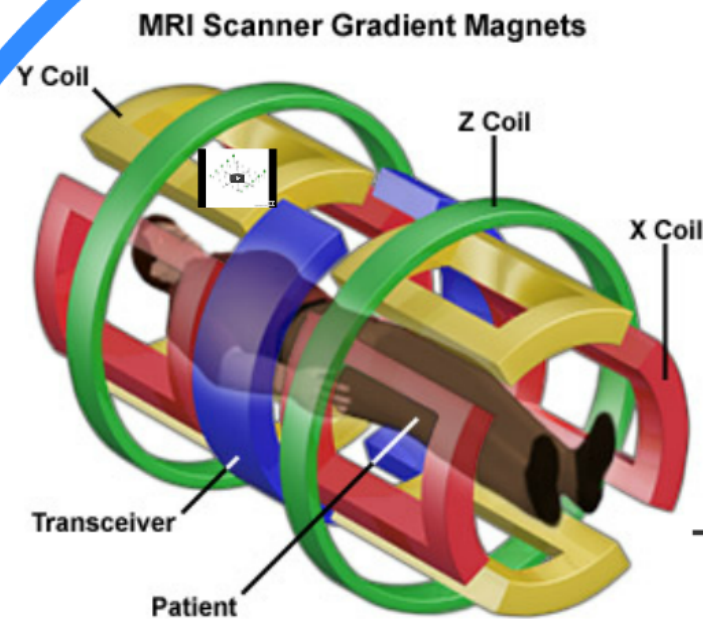




Tyler Moore, 2011

ube

# Voxel - pozíció kódolás



- Gradiens tekercsek  
- Larmor - B



Tyler Moore, 2011

## Voxel - pozíció kódolás

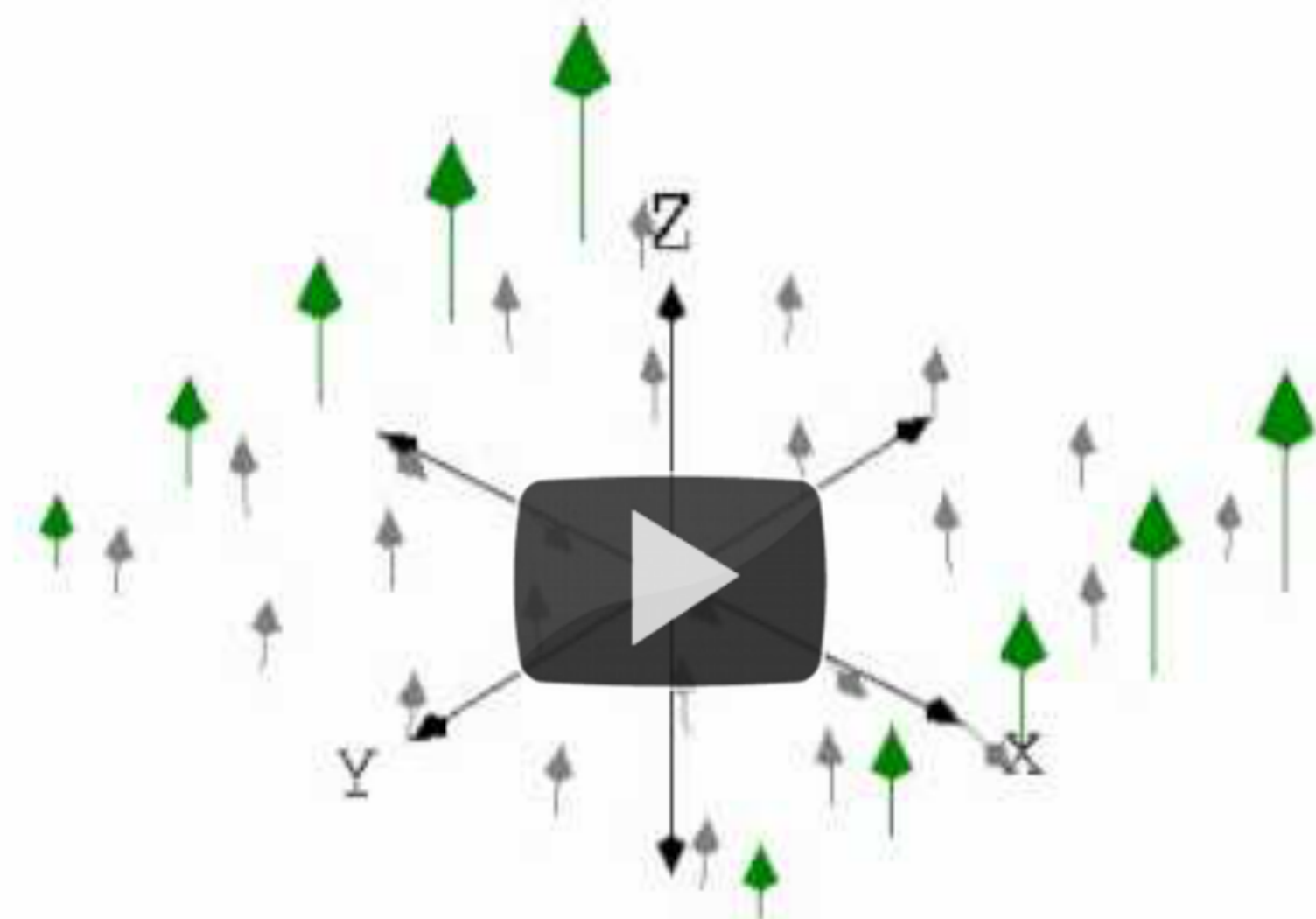
- Emeletek
- Hangmagasság
- Hol tart a zenében



3D pozíció

- Szeletek
- Frekvencia
- Fázis





YouTube  
Tyler Moore, 2011

## Now Can We Make A Useful Image?

**Table XIV**  
Water content of fat-free normal  
human tissue

Tissue	Water content (%)
Skeletal muscle	79
Myocardium	80
Liver	71
Kidney	81
Brain white matter	84
Brain gray matter	72
Nerve	56
Femur cortex	12
Teeth	10

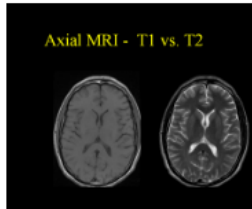
**Table XV**  
The spin-lattice relaxation time ( $T_1$ ) and  
spin-spin relaxation time ( $T_2$ ) of various  
biological tissues at 0.2 tesla

Tissue	$T_1$ , msec	$T_2$ , msec
Fat	240 $\pm$ 20	60 $\pm$ 10
Muscle	400 $\pm$ 40	50 $\pm$ 10
Gray matter	495 $\pm$ 85	100 $\pm$ 10
White matter	390 $\pm$ 70	90 $\pm$ 20
Lung	460 $\pm$ 90	80 $\pm$ 30
Kidney	670 $\pm$ 60	50 $\pm$ 10
Liver	380 $\pm$ 20	40 $\pm$ 20
Liver metastases	570 $\pm$ 190	40 $\pm$ 10
Lung carcinoma	940 $\pm$ 460	20 $\pm$ 10

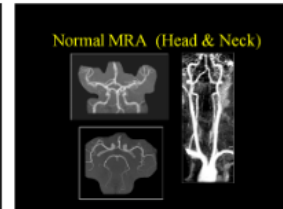
Source: Morgan and Hendee, 1984

# Biológiai alkalmazások

## Morfológiai képalkotás

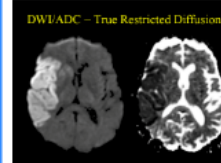


- T1 "anatómia"
- T2 "patológia"

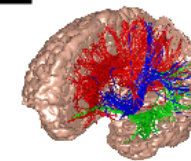


- Angiográfia (T1)  
(Gd kontrasztal)

## Funkcionális képalkotás

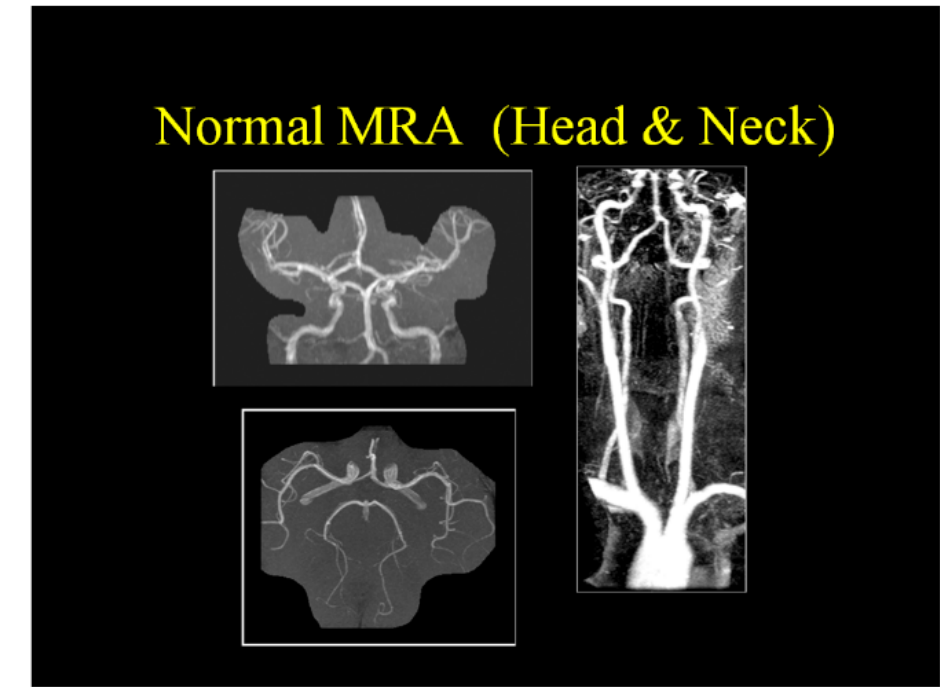
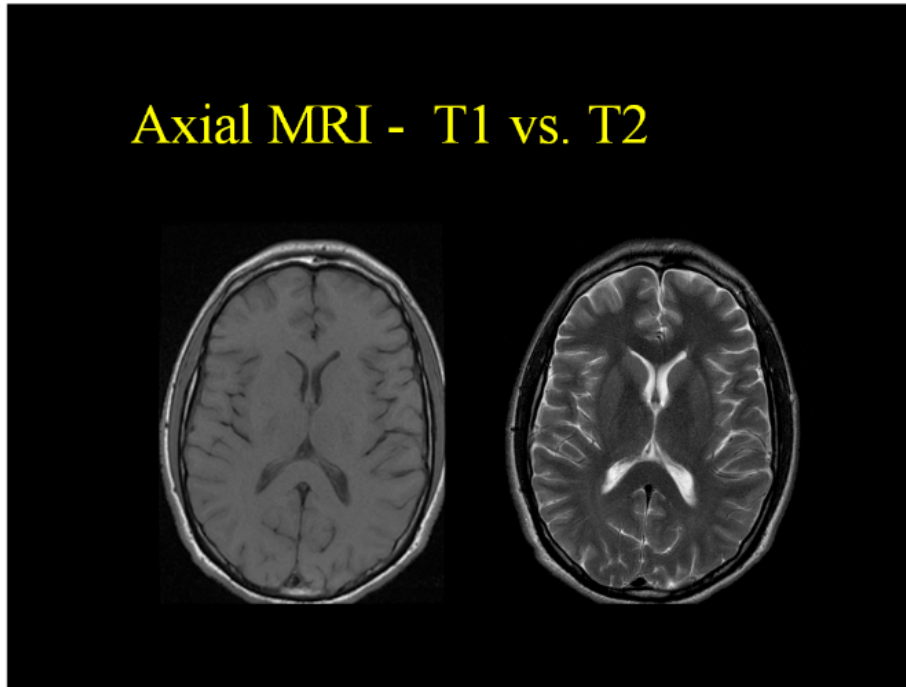


- Diffúzió mérés  
(víz diffúzió)



- Vérellátottság  
(oxiFe - deoxiFe)

# Morfológiai képalkotás

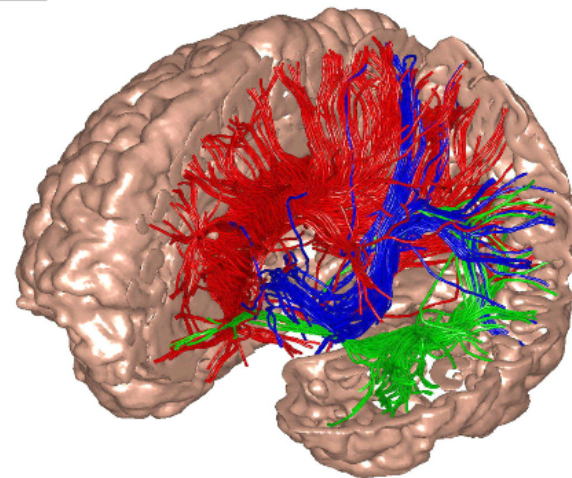
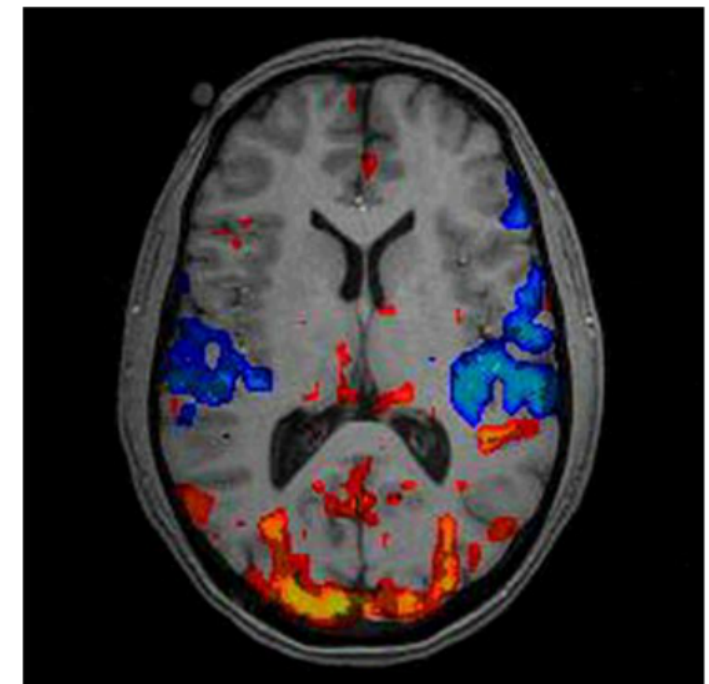
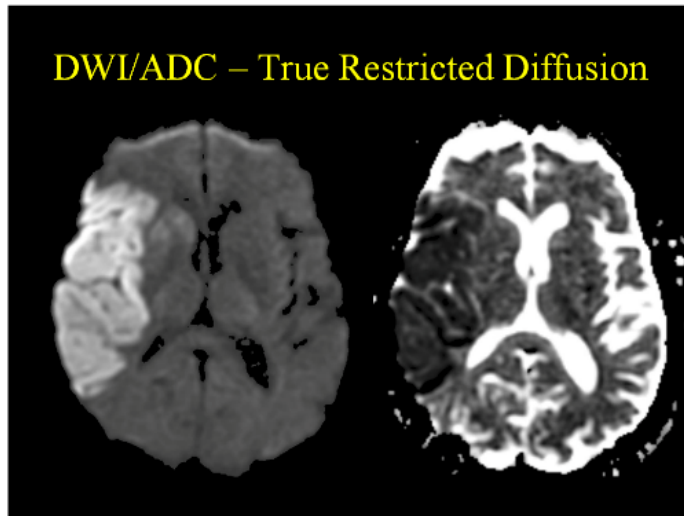


- T1 "anatómia"
- T2 "patológia"

- Angiográfia (T1)  
(Gd kontrasztal)

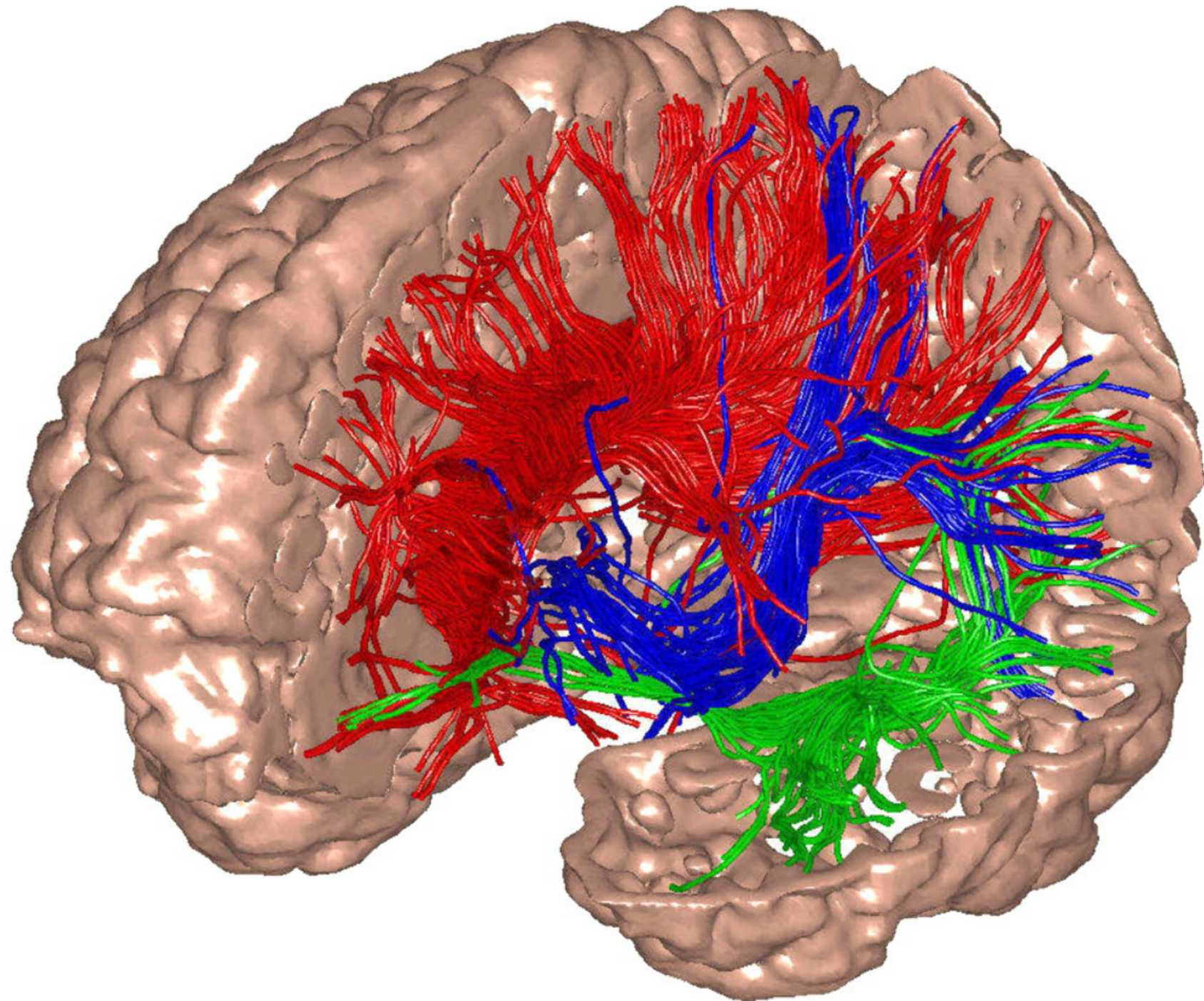
# Funkcionális képalkotás

DWI/ADC – True Restricted Diffusion



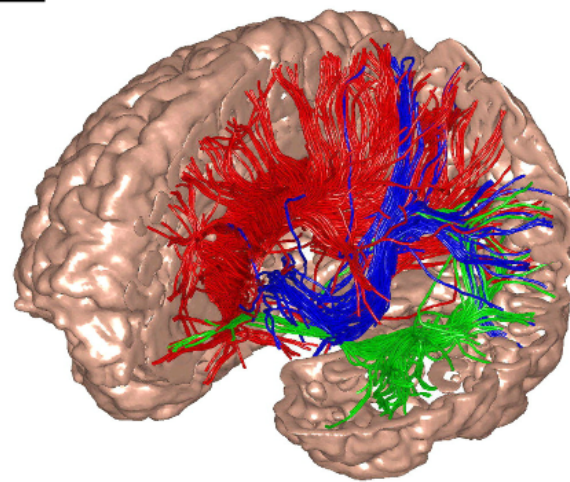
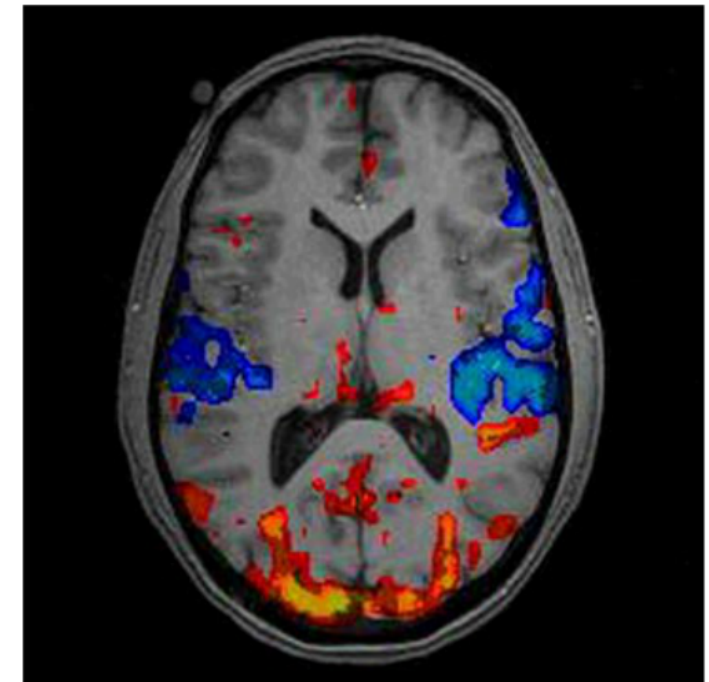
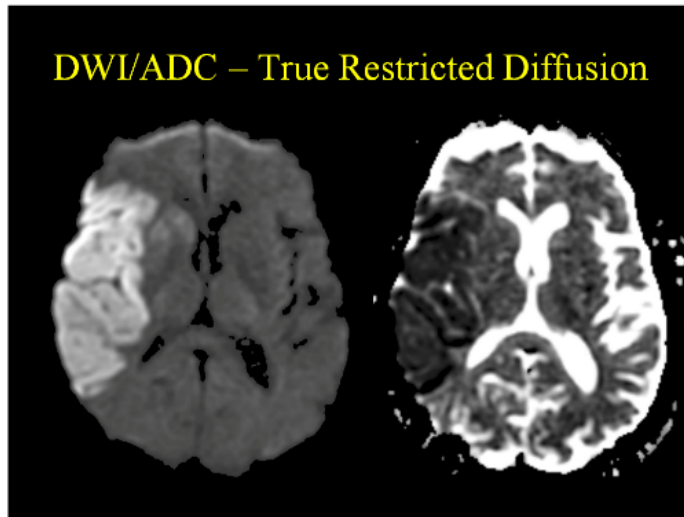
- Diffúzió mérés  
(víz diffúzió)

- Vérellátottság  
(oxiFe - deoxiFe)



# Funkcionális képalkotás

DWI/ADC – True Restricted Diffusion



- Diffúzió mérés  
(víz diffúzió)

- Vérellátottság  
(oxiFe - deoxiFe)

## Egy kis háttér anyag:

- <http://www.imaios.com>
- MRI Physics Tutorial (youtube)
- <http://oftankonyv.reak.bme.hu/>

